

А. Б. КОНДРАТ, д. ф.-м. н. Н. И. ДОВГОШЕЙ,  
Я. М. ПОЛЯК, Ю. Й. СИДОР, Р. М. ПОВЧ

Украина, Ужгородский нац. университет  
E-mail: pmm@univ.uzhgorod.ua

Дата поступления в редакцию  
18.04.2001 г.

Оппоненты д. ф.-м. н. В. Т. МАСЛЮК,  
д. т. н. В. А. МОКРИЦКИЙ

## ЭЛЕКТРОФИЗИЧЕСКИЕ ХАРАКТЕРИСТИКИ СТРУКТУР $Si - X - Ge_{33}As_{12}Se_{55}$ ( $X: Sb, Bi, In, Pb$ ) С РАЗЛИЧНЫМИ КОНТАКТАМИ

*Предложен технологический прием модификации гетероперехода для целенаправленного изменения высоты энергетического барьера и скорости рекомбинации на границе раздела.*

Исследование явления переноса носителей заряда в гетероструктурах дает важную информацию об их энергетической структуре. При этом необходимо учитывать процессы, которые происходят как на границе раздела двух полупроводников, так и на границе раздела «металл – полупроводник».

Одним из возможных методов управления границей раздела «металл – полупроводник» является ее модификация определенными примесями. Граница раздела «подложка – пленка» является объектом локализации электрически активных дефектов, выступающих в роли поверхностных состояний, ловушек, дислокаций и т. д. [1]. Уменьшая влияние этих факторов можно существенно улучшить необходимые параметры.

В настоящей работе была проведена модификация переходного слоя в структурах «кремний – аморфная пленка  $Ge_{33}As_{12}Se_{55}$ » путем образования на нослой  $Sb, Bi, In, Pb$  на границе раздела гетероструктуры и исследованы характеристики полученных структур.

Пленки толщиной 1,0 мкм напылялись методом дискретного термического испарения [1, с. 82] стекол  $Ge_{33}As_{12}Se_{55}$  на неподогревые подложки  $n\text{-Si}$ , на которые предварительно были нанесены термическим испарением нанослои (10 нм)  $In, Pb, Sb, Bi$ . Скорость осаждения пленок составляла  $5,0 \pm 0,1$  нм/с. Контакты из  $Sb$  были изготовлены путем напыления  $Sb$  через маску с круглыми отверстиями диаметром  $1,0 \pm 0,1$  мм. Контакты из  $In$  были нанесены на  $Si$  непосредственно перед проведением эксперимента. В качестве электродов использовались контакты, полученные также путем термического осаждения алюминия на обе стороны такой структуры.

Исследование ВАХ заключалось в измерении зависимости тока от приложенного к образцу напряжения при прямом и обратном смещении [2].

### РЕЗУЛЬТАТЫ ИССЛЕДОВАНИЙ

#### 1. Вольт-амперные характеристики.

*Структура  $M - Ge_{33}As_{12}Se_{55} - M$ .*

Большинство параметров гетероструктур "аморфный полупроводник – кристаллический полупроводник" определяются процессами переноса носителей заряда на границе раздела [3].

Была исследована ВАХ "сэндвич"-структур  $M - Ge_{33}As_{12}Se_{55} - M$  (где  $M$  –  $Sb$  и  $In$ ), работа выхода которых соответственно равна 4,08 и 3,8 эВ [4]. Их анализ показал, что при использовании контактов из  $Sb$  ВАХ описывается степенным законом  $J \sim U^n$ , где  $J$  – плотность тока,  $U$  – напряжение,  $n=2,7$  ( $n$  – показатель степенной зависимости). В данном случае это может свидетельствовать о наличии токов, ограниченных пространственным зарядом. При использовании контактов из  $In$  ВАХ этих структур описывается экспоненциальным законом  $J \sim \exp(\text{const } U)$ , что может свидетельствовать об образовании на контакте барьера Шоттки [5].

*Переход  $In - p\text{-Si}$  и гетероструктура  $Ge_{33}As_{12}Se_{55} - p\text{-Si}$ .*

Вольт-амперная характеристика перехода "In – Si  $p$ -типа" хорошо описывается уравнением Шоттки для тока, текущего через барьер, и имеет вид [6, с. 207]

$$I = I_0[\exp(qU/\eta kT) - 1], \quad (1)$$

где

$$I_0 = AT^2 \exp(-q\Phi_B/kT); \quad (2)$$

$A$  – квазиконстанта Ричардсона;

$T$  – температура;

$q$  – заряд электрона;

$\Phi_B$  – высота барьера;

$k$  – постоянная Больцмана;

$\eta$  – коэффициент неидеальности.

Таким образом, прохождение тока на переходе  $In - p\text{-Si}$  определяется барьером на контакте «металл – полупроводник». При использовании контактов из  $Sb$  ВАХ перехода  $Sb - p\text{-Si}$  имели линейную зависимость.

На **рис. 1** приведена ВАХ гетероструктуры  $Ge_{33}As_{12}Se_{55} - p\text{-Si}$  при прямом и обратном смещении с электродами из  $In$  (a) и  $Sb$  (b).

При использовании блокирующих контактов ( $In$ ) ВАХ при прямом смещении ("плюс" приложен к  $Ge_{33}As_{12}Se_{55}$ ) может быть описана уравнением,

## ФУНКЦИОНАЛЬНАЯ МИКРОЭЛЕКТРОНИКА

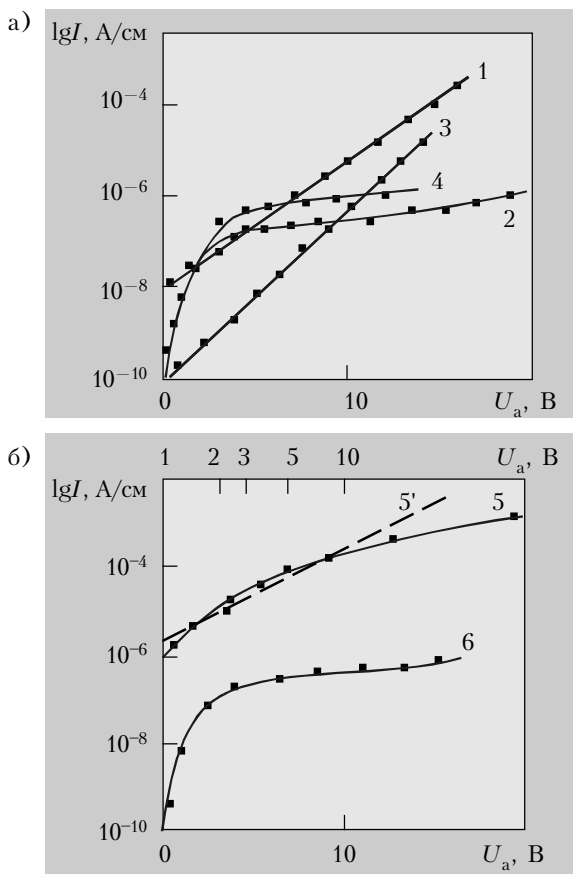


Рис. 1. Вольт-амперная характеристика гетероструктуры  $M - Ge_{33}As_{12}Se_{55} - Si - M$  ( $M$  – In и Sb) при прямом (1, 3, 5, 5') и обратном (2, 4, 6) смещении для толщины пленки  $Ge_{33}As_{12}Se_{55}$  0,1 (мкм) (1, 2) и 0,5 мкм (3–6). Пунктиром (кривая 5') показана кривая 5, построенная в логарифмическом масштабе

подобным (1), но с коэффициентом неидеальности  $\eta$  для пленок  $Ge_{33}As_{12}Se_{55}$  толщиной 0,1 и 0,5 мкм, равным соответственно 2,6 и 3,3 (рис. 1, прямые 1, 3). При обратном смещении при  $U_a > 2$  В наблюдается переход к насыщению тока. Прохождение тока через гетероструктуру при использовании инжектирующих контактов при прямом смещении определяется механизмом переноса заряда в аморфной пленке, а при обратном – высотой барьера на гетеропереходе. Подобная ВАХ характерна для изотипных гетеропереходов с учетом состояний на границе раздела [7]. При использовании инжектирующих контактов (Sb) ВАХ при прямом смещении выражается степенным законом  $j \sim U^n$ , где  $n=2$  (рис. 1, кривая 5').

Ограничение тока через гетероструктуру при прямом смещении, определяющееся проводимостью аморфной пленки, можно объяснить на основании модели, учитывающей Д-центры [8, с. 531]. Полагается, что  $D^+$ -центры в аморфных полупроводниках образуют донорные состояния в верхней половине запрещенной зоны, аналогично мелким уровням, а центры  $D^-$  – акцепторные состояния, размещенные в нижней половине запрещенной зоны. С обеих сторон от уровня Ферми размещены два глубоких уровня, связанных с  $D^0$ -центрами. Как и для ряда релак-

ационных полупроводников [9, с. 93], можно предположить, что при инжекции неосновных носителей заряда в аморфной пленке вблизи контактов существует область обеднения основными носителями заряда, удельное сопротивление которой превышает объемное удельное сопротивление пленки.

При малом напряжении большая часть его приходится на объем пленки. С увеличением уровня инжеции неравновесные носители заряда начинают захватываться Д-центрами, в результате чего увеличивается концентрация  $D^0$ -центров. Это приводит к ограничению тока пространственным зарядом. Это также приводит к резкому росту тока через планарную структуру, который (рост) связан с предельным заполнением ловушек. С увеличением напряжения обедненные слои распространяются в объем пленки, что приводит к квадратичной зависимости ВАХ по закону Мотта – Генри [5, с. 61].

*Структура  $Ge_{33}As_{12}Se_{55} - X - n-Si$ .*

На рис. 2 приведены в логарифмических координатах вольт-амперные характеристики структур  $Ge_{33}As_{12}Se_{55} - X - n-Si$  с промежуточными нанослоями ( $X$ ) In, Pb, Sb, Bi. Измерения проведены в области слабых электрических полей ( $10^2 - 10^4$  В/см). Здесь же приведена характеристика без нанослоя (кривая 1). Как видно, при значениях напряжений  $U_a \leq 1$  В ( $E \leq 10^4$  В/см) она линейна и симметрична.

Наличие нанослоя In приводит к тому, что вольт-амперная характеристика при напряжении выше

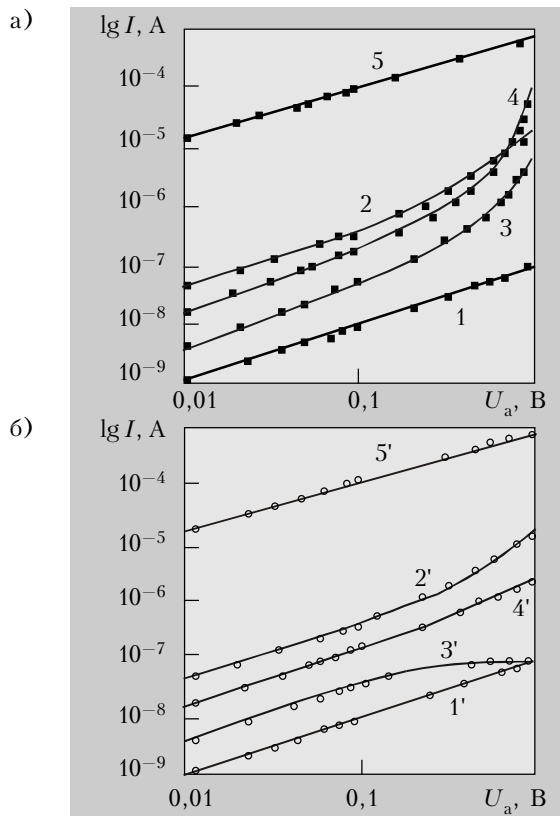


Рис. 2. Прямые (а) и обратные (б) ветви вольт-амперных характеристик гетероструктуры  $Ge_{33}As_{12}Se_{55} - X - n-Si$ : 1, 1' – без переходного нанослоя; 2, 2' – In; 3, 3' – Pb; 4, 4' – Sb; 5, 5' – Bi

0,2 В становится сверхлинейной и остается практически симметричной (кривые 2, 2'). Нарушение симметричности вольт-амперной характеристики структур происходит при использовании нанослоев из Pb (кривые 3, 3') и Sb (кривые 4, 4'). Наибольший коэффициент выпрямления ( $m \sim 80$  при  $U_a = 1$  В) наблюдается для структур с нанослоем Bi, причем при обратном смещении их вольт-амперная характеристика становится сублинейной. Нанослой из Bi не влияет на линейность и симметричность характеристики, однако ток, протекающий через такую структуру, на 2 порядка больше токов, протекающих через другие структуры (кривые 5, 5').

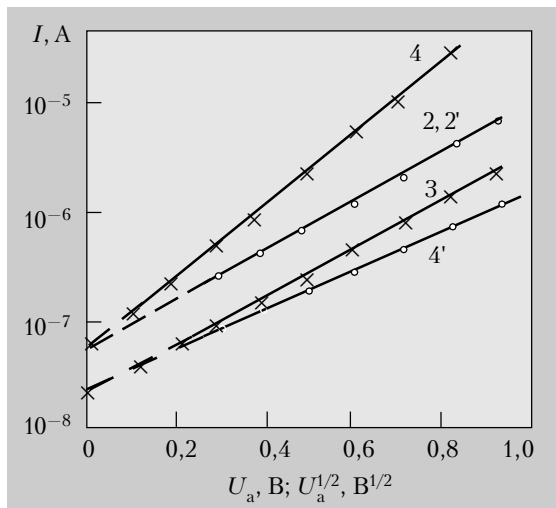


Рис. 3. Вольт-амперные характеристики гетероструктур с переходным слоем (нумерация кривых соответствует обозначениям на рис. 2):  
○ — для  $U_a$ ; × — для  $(U_a)^{1/2}$

С целью определения механизма переноса носителей заряда через исследуемые структуры в области нелинейности вольт-амперных характеристик они были построены в различных координатах. На **рис. 3** изображены характеристики, построенные в полулогарифмических координатах для структур с нанослоями из In (кривые 2, 2'), Pb (3) и Sb (4, 4'). Как видно, для структур с нанослоями из Pb и Sb вольт-амперные характеристики при прямом смещении ("плюс" приложен к пленке Ge<sub>33</sub>As<sub>12</sub>Se<sub>55</sub>) выпрямляются, если их построить в координатах  $\lg I - U_a$  (кривые 3, 4). Вольт-амперные характеристики структур с нанослойем из In, а также структур с нанослойем из Sb выпрямляются, если их построить в координатах  $\lg I - (U_a)^{1/2}$  (кривые 2, 2', 4').

## 2. Вольт-фарадные характеристики.

*Структура Ge<sub>33</sub>As<sub>12</sub>Se<sub>55</sub>—X—n-Si.*

На **рис. 4** изображены вольт-фарадные характеристики структуры Ge<sub>33</sub>As<sub>12</sub>Se<sub>55</sub>—X—n-Si с промежуточным нанослойем и без него. Как видно, наиболее существенное изменение емкости наблюдается в структурах с нанесенным на границу раздела нанослойем Sb (в таких структурах наблюдается также и максимальная нелинейность вольт-амперных характеристик — см. рис. 2). Структуры с переходным

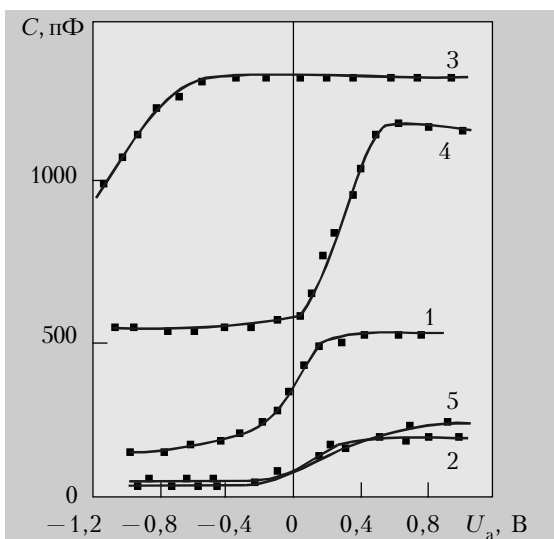


Рис. 4. Вольт-фарадные характеристики гетероструктур Ge<sub>33</sub>As<sub>12</sub>Se<sub>55</sub>—X—n-Si:  
1 — гетероструктура без нанослоя; 2 — In; 3 — Pb;  
4 — Sb; 5 — Bi

нанослойем из Pb имеют повышенное значение емкости при  $U_a = 0$ , а область начала ее уменьшения лежит в отрицательной области напряжений смещения (для этих структур вольт-амперные характеристики нелинейны, причем при обратном смещении наблюдается область насыщения — см. рис. 2). Минимальное изменение емкости структур наблюдается при использовании нанослойев из Bi и In. Для этих структур вольт-амперные характеристики симметричны (см. рис. 1).

На **рис. 5** для этих же структур приведены вольт-фарадные характеристики, построенные в координатах  $1/C^2 - U_a$  для области зависимости емкости от напряжения смещения  $U_a$ . Экстраполяция зависимости  $C^{-2} - U_a$  к значению  $C^{-2}=0$  позволяет определить величину контактной разности потенциалов  $U_D$ .

Как видно из рис. 5, величина  $U_D$  для разных структур различна. Для структур без нанослоя  $qU_D =$

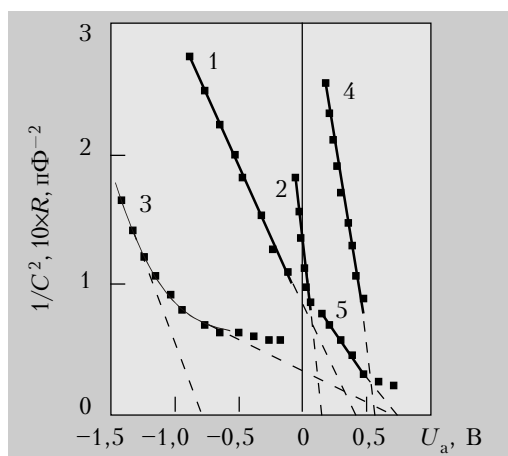


Рис. 5. Вольт-фарадные характеристики гетероструктур Ge<sub>33</sub>As<sub>12</sub>Se<sub>55</sub>—X—n-Si:  
1 — без переходного слоя; 2 — In; 3 — Pb; 4 — Sb; 5 — Bi

## ФУНКЦИОНАЛЬНАЯ МИКРОЭЛЕКТРОНИКА

=0,35 эВ (кривая 1); максимальное значение этой величины имеют структуры с нанослоем из Ві ( $qU_{\text{Д}}=0,80$  эВ, кривая 5), а минимальное — структуры с нанослоем из In ( $qU_{\text{Д}}=0,15$  эВ, кривая 2). При использовании в структурах нанослоев из Pb и Sb значение  $qU_{\text{Д}}$  одинаковы и составляют 0,60 эВ (кривые 3, 4).

### ОБСУЖДЕНИЕ РЕЗУЛЬТАТОВ

Вольт-амперные характеристики структур с нанослоем из In могут быть описаны в рамках модели, учитывающей рекомбинацию и туннелирование через состояния на границе раздела симметричного барьера [10], для которой плотность тока описывается выражением

$$j = j_0 \exp(AU_a), \quad (3)$$

где  $A$  почти не зависит от температуры и имеет относительно высокое значение по сравнению с множителем  $\eta$ , который входит в выражение, описывающее ток при прямом смещении для рекомбинационной модели Долега [11]. Согласно этой модели,

$$j = j_0 \exp(qU_a / \eta kT), \quad (4)$$

где  $\eta$  меняется от 1 до 2 в зависимости от отношения концентраций примеси.

По величине угла наклона вольт-амперных характеристик определены коэффициент неидеальности  $\eta$  и коэффициент  $A$  (указанный ниже в скобках). Для структур с нанослоями из In и Pb они соответственно равны 7,47 (5,23) и 7,08 (5,47), а для структур с нанослоями из Sb при прямом смещении принимают значения 5,56 (6,97) и при обратном смещении — 9,10 (4,25). Путем экстраполяции прямых на рис. 3 к  $U_a=0$  определена плотность потока электронов  $j_0$  со стороны металла в полупроводник. Для исследованных структур с нанослоем из In, а также со слоем из Sb при прямом смещении  $j_0=1,1 \cdot 10^{-6}$  А/см<sup>2</sup>. Для структур с нанослоем из Pb при прямом смещении и структур с нанослоем из Sb при обратном смещении  $j_0=0,7 \cdot 10^{-6}$  А/см<sup>2</sup>.

Анализ экспериментальных результатов показал, что ток в исследуемых структурах не может быть связан с процессами на границе раздела "металл — полупроводник", т. к. коэффициент  $\eta$  значительно отличается от 1. Перенос носителей заряда в структурах с нанослоем из Sb качественно может быть объяснен на основании модели, которая учитывает туннелирование на границе раздела между двумя полупроводниками, поскольку прямая и обратная ветви их вольт-амперной характеристики описываются соответственно формулами [6, с. 62, 63]

$$j = j_0 \exp[-B(U_{\text{Д}} - K_2 U_a)] \quad (5)$$

и

$$j = j_0 (-U_a) \exp[-Cq(U_{\text{Д}} - U_a)^{1/2}], \quad (6)$$

где  $K_2$  — коэффициент, который учитывает падение напряжения в широкозонном полупроводнике;

$C$  — коэффициент, учитывающий зависимость ширины запрещенной зоны полупроводника и энергии активации его примесных уровней от температуры.

Для структур с нанослоем из Pb вольт-амперные характеристики могут быть описаны в рамках классической модели Андерсона для гетеропереходов [12]. В данной модели прямой ток  $I$  меняется в зависимости от приложенного напряжения  $U_a$  по экспоненциальному закону согласно выражению

$$I = B \exp[qU_{\text{Д2}}/kT] \exp(qK_2 U_a/kT), \quad (7)$$

где  $U_{\text{Д2}}$  — искривление зон в широкозонном полупроводнике.

Для обратной ветви вольт-амперной характеристики теория предусматривает насыщение тока при больших напряжениях.

Значительный рост тока через структуру с нанослоем из Ві может быть связан с переходом от дырочного к электронному типу проводимости пленок Ge<sub>33</sub>As<sub>12</sub>Se<sub>55</sub> в результате диффузии атомов Ві.

Известно, что для гетероструктур энергетический разрыв валентной зоны определяется выражением [6, с. 61]

$$\Delta E_v = U_{\text{Д}} + \delta_n + \delta_p - E_{gn}, \quad (8)$$

где  $\delta_n$  и  $\delta_p$  — энергия примесного уровня в полупроводнике соответственно  $n$ - и  $p$ -типа;

$E_{gn}$  — ширина запрещенной зоны полупроводника  $n$ -типа.

Для  $n$ -Si энергия примесного уровня при легировании его атомами фосфора равна  $\delta_n=0,044$  эВ [6, с. 54]. Для Ge<sub>33</sub>As<sub>12</sub>Se<sub>55</sub> величина  $\delta_p \sim 0,9$  эВ, если допустить, что дефектные центры находятся вблизи середины ширины оптической зоны  $E_{gp}=1,80$  эВ [14]. Величина  $E_{gn}$  для Si равна 1,11 эВ [6, с. 22].

Используя формулу (8), для структуры без нанослоя получим значение  $\Delta E_v=0,18$  эВ. Максимальное значение  $\Delta E_v=0,64$  эВ получено для структуры с Ві, а минимальное — для структуры с In ( $\Delta E_v \sim 0$ ). При наличии на границе раздела нанослоев из Pb и Sb величина  $\Delta E_v$  равна 0,44 эВ. Для таких структур вольт-амперные характеристики несимметричны (см. рис. 2).

Энергетический разрыв зоны проводимости  $\Delta E_c$  для гетероструктур определяется выражением [7]

$$\Delta E_c = E_{gp} - E_{gn} - \Delta E_v. \quad (9)$$

Минимальное значение  $\Delta E_c=0,05$  эВ имеют структуры с нанослоями из Ві. Если учитывать, что перенос носителей зарядов в такой структуре определяется потоком электронов, то становится понятным значительное увеличение тока (см. рис. 2), поскольку для него практически отсутствует барьер на границе раздела. Максимальное значение  $\Delta E_c=0,69$  эВ получено для структур с нанослоем In. Для структур без переходного слоя получено значение  $\Delta E_c=0,51$  эВ, а для структур с нанослоями из Pb и Sb они равны 0,25 эВ. Следует отметить, что и работа выхода электронов для этих материалов приблизительно одна и та же и составляет 4,02 и 4,08 эВ, соответственно.

### ВЫВОДЫ

Разработаны и исследованы новые гетероструктуры со стабильными во времени параметрами и характеристиками. Показано, что перенос носителей

## ФУНКЦИОНАЛЬНАЯ МИКРОЭЛЕКТРОНИКА

заряда через гетероструктуру "аморфная пленка  $\text{Ge}_{33}\text{As}_{12}\text{Se}_{55}$  — эпитаксиальный  $p\text{-Si}$ " при использовании контактов из In в основном определяется барьера на границе раздела "металл — аморфная пленка". При использовании контактов из Sb перенос носителей заряда через пленку  $\text{Ge}_{33}\text{As}_{12}\text{Se}_{55}$  и гетероструктуру " $p\text{-Si} — \text{Ge}_{33}\text{As}_{12}\text{Se}_{55}$ " при прямом смещении определяются токами, ограниченными пространственным зарядом, а при обратном смещении — высотой барьера на гетеропереходе.

Контакты из Sb могут быть рекомендованы для получения омических контактов с пленкой  $\text{Ge}_{33}\text{As}_{12}\text{Se}_{55}$ .

Получено качественное согласование экспериментальных данных при исследовании вольт-амперных и вольт-фарадных характеристик структур "аморфная пленка  $\text{Ge}_{33}\text{As}_{12}\text{Se}_{55}$  — кристаллический полупроводник  $n\text{-Si}$ " с промежуточным нанослоем из Sb, Bi, In и Pb. Показано существенное влияние таких нанослоев на механизм переноса носителей заряда через исследуемую структуру.

Установлено, что максимальное значение величины контактной разности потенциалов получено для структуры с нанослоем из Bi ( $qU_D = 0,80$  эВ), а минимальное — для структуры с нанослоем из In ( $qU_D = 0,15$  эВ). При использовании в структурах нанослоев из Pb и Sb значения  $qU_D$  составляют 0,60 эВ.

Предложенный технологический прием модификации гетероперехода может быть применен для целенаправленного изменения высоты энергетического барьера и скорости рекомбинации на границе раздела.

### ИСПОЛЬЗОВАННЫЕ ИСТОЧНИКИ

1. Свечников С. В., Химинец В. В., Довгошней Н. И. Сложные некристаллические халькогениды и халькога-

логениды и их применение в оптоэлектронике // Киев: Наукова думка, 1992.

2. Свойства структур металл — диэлектрик — полупроводник / Под ред. А. В. Ржанова. — М.: Наука. 1976.

3. Андриеш А. М., Циуляну Д. И. Электрофизические свойства гетеропереходов стеклообразный полупроводник — кристалл / В кн.: Аморфные полупроводники-78, Пардубице. — 1978. — С. 601 — 608.

4. Довгошней Н. И., Качер И. Э., Кондрат А. Б. Физические аспекты формирования переходного слоя пленки  $\text{Ge}_{33}\text{As}_{12}\text{Se}_{55}$  с подложкой Si // Тонкие пленки в электронике: Матер. VI Междунар. симпоз., Москва — Киев — Херсон. — 1995. — С. 103 — 104.

5. Ламберт М., Марк П. Инжекционные токи в твердых телах // М.: Мир, 1973.

6. Милнес А., Фойхт Д. Гетеропереходы и переходы металл — полупроводник // М.: Мир, 1975.

7. Savchenko N. D. Energy band diagram for the  $\text{Ge}_{33}\text{As}_{12}\text{Se}_{55}$  — Si heteroboundary // Inst. Phys. Conf. Ser. IOP Publishing Ltd. 152. — 1998. — P. 723.

8. Мотт Н., Дэвис Э. Электронные процессы в некристаллических веществах. Т. 1, 2. — М.: Мир, 1982.

9. Kao K., Хуанг В. Перенос электронов в твердых телах. Ч. 2. — М.: Мир, 1973.

10. Donnelly I. P., Milnes A. G. Current-voltage characteristics for Ge — Si and Ge — GaAs heterojunctions // Proc. IEE (London). — 1996. — Vol. 113. — P. 1468.

11. Dolega V. Theory of  $p-n$ -heterojunctions between semiconductors with variable crystalline lattices // Zs. Naturforsch, 13. — 1963. — P. 653.

12. Anderson R. L. Experiments on Ge — GaAs heterojunction // Solid-State Electron. — 1962. — Vol. 5. — P. 341 — 346.

13. Хогарт К. Кремний / В кн.: Материалы, используемые в полупроводниковых приборах. — Под ред. К. Хогарта. — М.: Мир, 1968.

14. Savchenko N., Shchurova T., Kondrat A., Dovgoshey N. Radiation stable infrared optical components // Proc. of SPIE. — 1998. — Vol. 3359. — P. 87.

## 5-я международная специализированная выставка



# АВТОМАТИЗАЦИЯ ЭЛЕКТРОНИКА ЭЛЕКТРО

МИНСК  
26—29 марта  
2002

220035 Минск пр. Машерова, 14  
Тел./факс ++(37517) 226 91 93  
Факс ++(37517) 226 91 92  
E-mail: borovik@brm.by  
minskexpo@brm.minsk.by  
www.minskexpo.com.by